

激发双参数变形奇偶相干态的反聚束效应*

江俊勤¹⁾

(广东教育学院物理系 广州 510303)

摘要 通过在双参数变形奇偶 qs 相干态上重复作用玻色产生算符, 构造了激发奇 qs 相干态 $a_{qs}^{+m} |\alpha\rangle_{qs}^o$ 和激发偶 qs 相干态 $a_{qs}^{+m} |\alpha\rangle_{qs}^e$, 并用数值计算研究了参数 m, s 和 q 对反聚束效应的影响。结果显示:(1)当 r 较小时, 对于偶 qs 相干态, 激发可使原来强烈的聚束效应变为强烈的反聚束效应;(2)当 q ($q \leq 1$) 偏离 1 较远时, 随着 r^2 的增大, 二阶 qs 相关函数出现振荡现象(即反聚束效应和聚束效应交替出现), 其振幅和周期都随 s 和 q 的减小而增大, 但不明显受 m 的调节;(3)当 $q \rightarrow 1$ 时, 二阶相关函数同样出现振荡现象, 其振幅和周期不但随着 s 的减小而增大, 而且明显地受到参数 m 的调节;(4)对于大多数 r , 二阶 qs 相关函数对 s 的敏感度大于对 q 的敏感度。

关键词 量子代数 双参数变形奇偶相干态 激发态 反聚束效应 qs 敏感度

1 引言

近年来, 量子群和量子代数由于在物理学的许多领域中有着广泛的应用前景, 而受到数学和物理学工作者的关注(见文献[1]及其参考文献)。在原子核物理学中, 量子群理论的 q 变形转子模型可用于描述原子核转动谱^[2,3]; 在量子光学中, 基于物理应用的考虑, 人们先后构造并研究了单参数奇偶 q 相干态^[4~7] 和双参数奇偶 qs 相干态^[8~10]。

最近, 我们把 Agarwal 提出的在相干态上重复作用玻色产生算符构造新量子态的方法^[11] 推广到单参数奇偶 q 相干态上, 引入了激发奇 q 相干态和激发偶 q 相干态并研究了它们的统计性质^[12,13]。本文在双参数变形奇偶 qs 相干态上重复作用玻色产生算符, 引入了激发奇 qs 相干态和激发偶 qs 相干态, 并用数值计算的方法对它们的反聚束效应进行研

(用上标 e 表示)分别定义为(未归一化)^[8]

$$|\alpha\rangle_{qs}^o = \sum_{n=0}^{\infty} \frac{\alpha^{2n+1}}{\sqrt{[2n+1]_{qs}!}} |2n+1\rangle_{qs}, \quad (1)$$

$$|\alpha\rangle_{qs}^e = \sum_{n=0}^{\infty} \frac{\alpha^{2n}}{\sqrt{[2n]_{qs}!}} |2n\rangle_{qs}. \quad (2)$$

式中 $\alpha = re^{i\theta}$, $[n]_{qs}!$ 定义为

$$[n]_{qs}! = [n]_{qs} [n-1]_{qs} \cdots [1]_{qs}, \quad (3)$$

$$[n]_{qs} = ((s^{-1}q)^n - (sq)^{-n})/(s^{-1}q - s^{-1}q^{-1}). \quad (4)$$

本文定义激发奇 qs 相干态和激发偶 qs 相干态为

$$|\alpha, m\rangle_{qs}^o = C_m^o a_{qs}^{+m} |\alpha\rangle_{qs}^o = C_m^o \sum_{n=0}^{\infty} \frac{\alpha^{2n+1}}{\sqrt{[2n+1]_{qs}!}} \sqrt{\frac{[2n+1+m]_{qs}!}{[2n+1]_{qs}!}} \times |2n+m\rangle_{qs}, \quad (5)$$

$$|\alpha, m\rangle_{qs}^e = C_m^e a_{qs}^{+m} |\alpha\rangle_{qs}^e = C_m^e \sum_{n=0}^{\infty} \frac{\alpha^{2n}}{\sqrt{[2n]_{qs}!}} \sqrt{\frac{[2n+m]_{qs}!}{[2n]_{qs}!}} |2n+m\rangle_{qs}, \quad (6)$$

式中 q 和 s 为两个变形参数; a_{qs}^+ 为 qs 变形玻色产生算符, 它与湮没算符 a_{qs} 以及粒子数算符 N_{qs} 满足如

激发奇偶 qs 相干态

奇 qs 相干态(用上标 o 表示)和偶 qs 相干态

2002-03-18 收稿

* 广东省教育厅自然科学基金(Z02083)资助

1) E-mail: jjq203@21cn.com

下对易关系

$$a_{qs} a_{qs}^+ - s^{-1} q a_{qs}^+ a_{qs} = (sq)^{-N_{qs}}, \quad (7)$$

$$[N_{qs}, a_{qs}] = -a_{qs}, [N_{qs}, a_{qs}^+] = a_{qs}^+. \quad (8)$$

为了保持奇偶性不变, 重复作用玻色产生算符的次数为偶数, 即 $m = 2, 4, \dots$; 当 $m = 0$ 时(5), (6) 式回到(1), (2)式. C_m^o 和 C_m^e 为归一化常数

$$(C_m^o)^{-2} = \sum_{n=0}^{\infty} \frac{(r^2)^{2n+1}}{[2n+1]_{qs}!} \times \frac{[2n+1+m]_{qs}!}{[2n+1]_{qs}!}, \quad (9)$$

$$(C_m^e)^{-2} = \sum_{n=0}^{\infty} \frac{(r^2)^{2n}}{[2n]_{qs}!} \times \frac{[2n+m]_{qs}!}{[2n]_{qs}!}. \quad (10)$$

3 反聚束效应

qs 电磁场的二阶 qs 相关函数定义为

$$g_{qs}^{(2)}(0) = {}^o_{qs} \langle a_{qs}^+ a_{qs}^2 \rangle_{qs} / | {}^o_{qs} \langle a_{qs}^+ a_{qs} \rangle_{qs} |^2.$$

当 $g_{qs}^{(2)}(0) < 1$ 时, 称 qs 电磁场呈现反聚束效应.

对于 $|\alpha, m\rangle_{qs}^o$ 和 $|\alpha, m\rangle_{qs}^e$, 分别有

$$g_{qs}^{o(2)}(0) = {}^o_{qs} \langle \alpha, m | a_{qs}^{+2} a_{qs}^2 | \alpha, m \rangle_{qs}^o / \\ ({}^o_{qs} \langle \alpha, m | a_{qs}^+ a_{qs} | \alpha, m \rangle_{qs}^o)^2, \quad (11)$$

$$g_{qs}^{e(2)}(0) = {}^e_{qs} \langle \alpha, m | a_{qs}^{+2} a_{qs}^2 | \alpha, m \rangle_{qs}^e / \\ ({}^e_{qs} \langle \alpha, m | a_{qs}^+ a_{qs} | \alpha, m \rangle_{qs}^e)^2, \quad (12)$$

式中

$$\begin{aligned} & {}^o_{qs} \langle \alpha, m | a_{qs}^{+2} a_{qs}^2 | \alpha, m \rangle_{qs}^o = \\ & (C_m^o)^2 \sum_{n=0}^{\infty} \frac{(r^2)^{2n+1}}{[2n+1]_{qs}!} \times \frac{[2n+1+m]_{qs}!}{[2n+1]_{qs}!} \times \\ & [2n+m]_{qs} \times [2n+1+m]_{qs}, \\ & {}^e_{qs} \langle \alpha, m | a_{qs}^{+2} a_{qs}^2 | \alpha, m \rangle_{qs}^e = \\ & (C_m^e)^2 \sum_{n=0}^{\infty} \frac{(r^2)^{2n}}{[2n]_{qs}!} \times \frac{[2n+m]_{qs}!}{[2n]_{qs}!} \times \\ & [2n-1+m]_{qs} \times [2n+m]_{qs}, \\ & {}^o_{qs} \langle \alpha, m | a_{qs}^+ a_{qs} | \alpha, m \rangle_{qs}^o = \\ & (C_m^o)^2 \sum_{n=0}^{\infty} \frac{(r^2)^{2n+1}}{[2n+1]_{qs}!} \times \frac{[2n+1+m]_{qs}!}{[2n+1]_{qs}!} \times \\ & [2n+1+m]_{qs}, \\ & {}^e_{qs} \langle \alpha, m | a_{qs}^+ a_{qs} | \alpha, m \rangle_{qs}^e = \\ & (C_m^e)^2 \sum_{n=0}^{\infty} \frac{(r^2)^{2n}}{[2n]_{qs}!} \times \frac{[2n+m]_{qs}!}{[2n]_{qs}!} \times \\ & [2n+m]_{qs}. \end{aligned} \quad (16)$$

首先, 考虑 $q < 1$ 和 $s < 1$ 的情况. 图 1—4 给出了当 $q = 0.5, m = 0$ 和 $2, s = 0.6$ 和 0.5 时, $g_{qs}^{o(2)}(0)$ 和 $g_{qs}^{e(2)}(0)$ 随 $x (= r^2)$ 变化的数值结果.

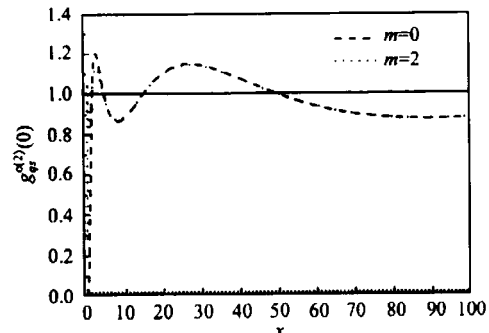


图 1 当 $q = 0.5, s = 0.6$ 时, $g_{qs}^{o(2)}(0)$ 与 x 的关系

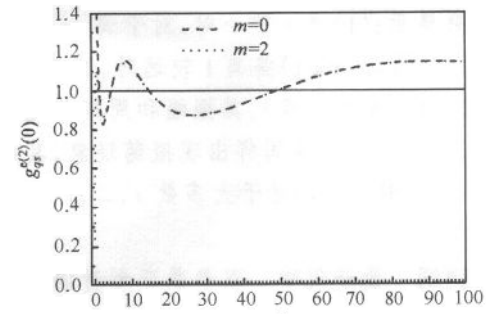


图 2 当 $q = 0.5, s = 0.6$ 时, $g_{qs}^{e(2)}(0)$ 与 x 的关系

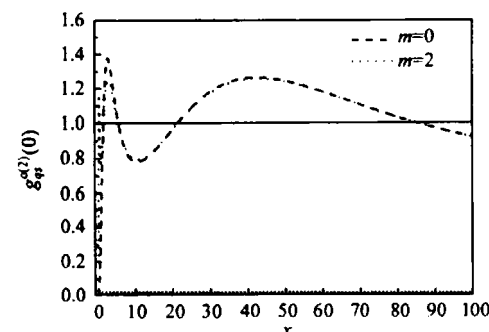


图 3 当 $q = 0.5, s = 0.5$ 时, $g_{qs}^{o(2)}(0)$ 与 x 的关系

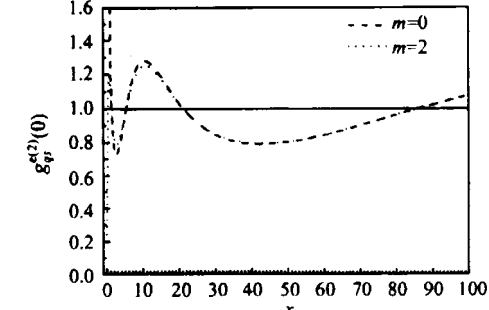


图 4 当 $q = 0.5, s = 0.5$ 时, $g_{qs}^{e(2)}(0)$ 与 x 的关系

由图 1—4 可见, 对于较小的 q (如 $q = 0.5$) 有:
(a) 当 r 较小时, 对于奇 qs 相干态, 激发 (即增加光子) 后基本上保持原来强烈的反聚束效应; 但对于偶 qs 相干态, 激发可使原来强烈的聚束效应变为强烈的反聚束效应 (其强度明显比其它区域的大). (b) 当 r 较大时, 随着 x 增大, 聚束效应和反聚束效应交替地出现, 即 $g_{qs}^{o(2)}(0)$ 和 $g_{qs}^{e(2)}(0)$ 出现准振荡现象,

振幅和周期都随 s 的减小而增大(当然也随 q 的减小而增大,限于篇幅未画出),但不明显受 m 的调节.

其次,考虑 $q \rightarrow 1$ 和 $s < 1$ 的情况.图 5 和 6 分别给出了当 $q = 1, m = 0$ 和 $2, s = 0.4$ 时, $g_{qs}^{(2)}(0)$ 和 $g_{qs}^{(2)}(0)$ 随 $x (= r^2)$ 变化的数值结果.

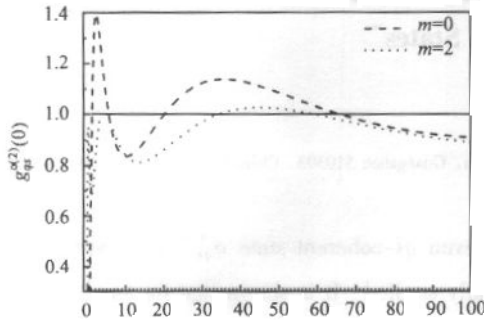


图 5 当 $q = 1, s = 0.4$ 时, $g_{qs}^{(2)}(0)$ 与 x 的关系

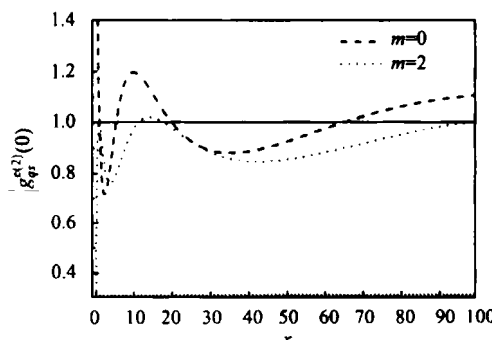


图 6 当 $q = 1, s = 0.4$ 时, $g_{qs}^{(2)}(0)$ 与 x 的关系

由图 5 和 6 可见,当 $q \rightarrow 1$ 和 $s < 1$ 时, $a_{qs}^{+,m} |\alpha\rangle_{qs}^{\circ}$ 和 $a_{qs}^{+,m} |\alpha\rangle_{qs}^*$ 退化为另一种单参数变形激发奇偶相干态,即激发奇偶 s 相干态 $a_s^{+,m} |\alpha\rangle_{qs}^{\circ}$ 和 $a_s^{+,m} |\alpha\rangle_{qs}^*$,它们的二阶相关函数同样出现振荡现象.为了比较,

还计算了当 $q = 1, m = 0$ 和 $2, s = 0.3$ 和 0.5 时, $g_{qs}^{(2)}(0)$ 和 $g_{qs}^{(2)}(0)$ 随 x 变化的数值结果(但限于篇幅未画出).结果表明:其振幅和周期不但随着 s 的减小而增大,而且明显地受到参数 m 的调节.

最后,讨论二阶 qs 相关函数对变形参数 q 和 s 的敏感度,可用二阶 qs 相关函数对变形参数 q 和 s 的变化率的绝对值描写,定义为

$$\tau_q = \left| \frac{\partial g_{qs}^{(2)}(0)}{\partial q} \right| = \left| \frac{g_{q+\Delta q,s}^{(2)}(0) - g_{qs}^{(2)}(0)}{\Delta q} \right|, \quad (17)$$

$$\tau_s = \left| \frac{\partial g_{qs}^{(2)}(0)}{\partial s} \right| = \left| \frac{g_{q,s+\Delta s}^{(2)}(0) - g_{qs}^{(2)}(0)}{\Delta s} \right|. \quad (18)$$

τ 的值越大,敏感度就越大.在数值计算中,取 $\Delta q = \Delta s = 10^{-5}$,而 $q (= s)$ 则分别取为 $0.3, 0.4, 0.5, 0.6$ 和 0.7 .

计算结果表明,对于大多数 r ,二阶 qs 相关函数对参数 s 的敏感度大于对参数 q 的敏感度.

图 7 给出了当 $q = s = 0.4$ 时 τ^* 的数值结果(对于 τ^r 情况类似,限于篇幅未给出).

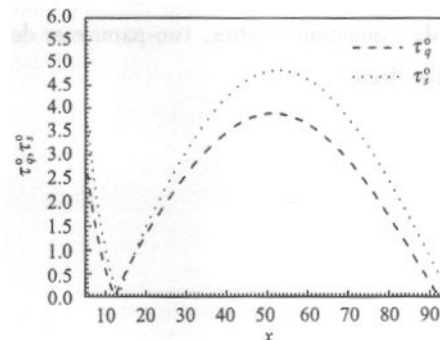


图 7 当 $q = s = 0.4$ 时, τ_q^* 和 τ_s^* 与 x 的关系

参考文献(References)

- 1 Haret C, Rosu, Carlos Castro. Phys. Lett., 2000, **A264**:350—356
- 2 Raychev P P, Roussev R P, Smirnov Yu F. J. Phys., 1990, **G16**: L137; Iwao S. Prog. Thero. Phys., 1990, **83**:363
- 3 FANG Xiang-Zheng, RUAN Tu-Nan. High Energy Phys. and Nucl. Phys., 2001, **25**:212—219; 2001, **25**:315—321(in Chinese)
(方向正,阮图南.高能物理与核物理,2000,**25**:212—219; 2001,**25**:315—321)
- 4 WANG F B, KUANG L M. Phys. Lett., 1992, **A169**(4):225—228
- 5 KUANG L M, WANG F B. Phys. Lett., 1993, **A173**(3):221—227
- 6 ZHU Cong-Xu, WANG Fa-Bo, KUANG Le-Man. Acta Physica Sinica, 1994, **43**(8):1262—1267(in Chinese)
- 7 WANG Zhong-Qing. Acta Physica Sinica, 2001, **50**(4):690—692(in Chinese)
(汪仲清.物理学报,2001, **50**(4):690—692)
- 8 ZHOU Huan-Qiang, HE Jing-Song, ZHANG Xin-Ming. High Energy Phys. and Nucl. Phys., 1995, **19**:251—257(in Chinese)
(周焕强,贺劲松,张新明.高能物理与核物理,1995, **19**:251—257)
- 9 WANG Ji-Suo, SUN Chang-Yong, ZHAO Ming-Jian. Acta Optica Sinica, 1997, **17**(3):293—297(in Chinese)
(王继锁,孙长勇,赵铭健.光学学报,1997, **17**(3):293—297)
- 10 WANG Zhong-Qing. High Energy Phys. and Nucl. Phys., 2001, **25**(12):1158—1164(in Chinese)

- (汪仲清. 高能物理与核物理, 2001, 25(12):1158—1164)
 11 Agarwal G S, Tara K. Phys. Rev., 1991, A43(1):492—497
 12 JIANG Jun-Qin. High Energy Phys. and Nucl. Phys., 2002, 26(4):
 331—337(in Chinese)
- (江俊勤. 高能物理与核物理, 2002, 26(4):331—337)
 13 JIANG Jun-Qin. High Energy Phys. and Nucl. Phys., 2002, 26(8):
 786—790(in Chinese)
 (江俊勤. 高能物理与核物理, 2002, 26(8):786—790)

Antibunching Effect of the Excited Two-Parameter Deformed Even and Odd Coherent States*

JIANG Jun-Qin¹⁾

(Department of Physics, Guangdong Institute of Education, Guangzhou 510303, China)

Abstract The excited odd qs -coherent state $a_{qs}^{+,m} |\alpha\rangle_{qs}^o$ and excited even qs -coherent state $a_{qs}^{+,m+1} |\alpha\rangle_{qs}^e$ are constructed. The q , s , and m dependences of the antibunching effect are numerically studied. It is shown that for small r , the excited even qs -coherent state $a_{qs}^{+,m} |\alpha\rangle_{qs}^e$ exhibits strong antibunching effect but the even qs -coherent state $|\alpha\rangle_{qs}^e$ exhibits strong bunching effect; When the q ($q \leq 1$) is far from 1, as r^2 increase, the second-order qs -correlation function exhibits oscillating phenomenon (i.e. alternates between antibunching effect and bunching effect), whose amplitude and period increase as s and q decrease, but are approximately independent of m ; When $q \rightarrow 1$, the second-order qs -correlation function also exhibits oscillating phenomenon, whose amplitude and period not only increase as s decreases but also are dependent on m ; In general, the second-order qs -correlation function is more sensitive to s than to q .

Key words quantum algebra, two-parameter deformed even and odd coherent state, excited state, antibunching effect, qs -sensitive degree

Received 18 March 2002

* Supported by Natural Science Foundation of the Education Department of Guangdong Province of China (Z02083)

1) E-mail: jjq203@21cn.com